

## ОБ ЭНЕРГЕТИЧЕСКОМ УСЛОВИИ В НОСИКЕ НЕСТАЦИОНАРНОЙ ТРЕЩИНЫ

Е. Н. Шер

(Новосибирск)

Рассматривается плоская задача теории упругости. Предполагается, что в окрестности носика произвольно движущегося разреза напряжения имеют особенность порядка  $r^{-1/2}$ . В этом предположении получено общее выражение для распределения в данной окрестности компонент тензора напряжения. Это распределение определяется двумя параметрами  $N$  и  $P$ . В случае симметричных относительно линии разреза напряжений ( $P = 0$ ) их угловое распределение не зависит от коэффициента интенсивности  $N$  и определяется только скоростью разреза в данный момент и скоростями поперечных и продольных волн материала.

В тех же предположениях показано, что энергетическое условие, полученное Крэгом для частного случая стационарно движущейся трещины, будет необходимым условием для произвольно движущейся трещины. В квазистатическом приближении затрагиваются вопросы рассмотрены Ирвином [1] и Черепановым [2].

**1. Об особенностях в носике движущегося разреза.** Известно, что в статическом случае в носике разреза существует особенность для напряжения порядка  $r^{-1/2}$ , где  $r$  — расстояние от носика разреза. Аналогичный результат получен и в ряде динамических задач. Предполагая такой же порядок особенности, найдем угловое распределение напряжений вокруг носика произвольно движущегося разреза.

Движение будем описывать потенциалами  $\Phi$  и  $\Psi$ , которые удовлетворяют уравнениям

$$c_1^2 \Delta \Phi = \partial^2 \Phi / \partial t^2, \quad c_2^2 \Delta \Psi = \partial^2 \Psi / \partial t^2 \quad (1.1)$$

Здесь  $c_1, c_2$  — скорости продольных и поперечных волн. Будем искать потенциалы в окрестности носика разреза в следующем виде:

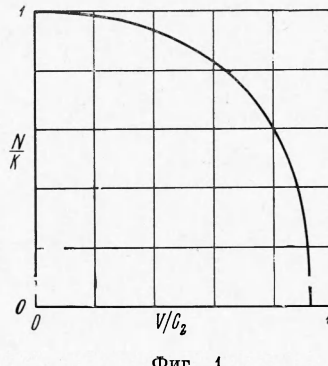
$$\Phi = r^{3/2} \varphi(\vartheta, t), \quad \Psi = r^{1/2} \psi(\vartheta, t) \\ r = \sqrt{[x - l(t)]^2 + y^2}, \quad \vartheta = \arctan \frac{y}{x - l(t)} \quad (1.2)$$

Здесь  $x, y$  — система координат с осью, направленной вдоль разреза:  $l(t)$  — координата носика разреза. Введем переменную  $X = x - l(t)$ , тогда

$$\begin{aligned} \frac{\partial \Phi}{\partial t} &= \frac{\partial \Phi}{\partial X} (-l') + o(r^{1/2}) \\ \frac{\partial^2 \Phi}{\partial t^2} &= \frac{\partial^2 \Phi}{\partial X^2} + l'^2 + o(r^{-1/2}) \end{aligned} \quad (1.3)$$

Здесь точка означает производную по времени. Подставляя (1.2) в (1.1), используя (1.3), получаем

$$\begin{aligned} \left(1 - \frac{l'^2}{c_1^2}\right) \frac{\partial^2 \Phi}{\partial X^2} + \frac{\partial^2 \Phi}{\partial y^2} &= o(r^{-1/2}) \\ \left(1 - \frac{l'^2}{c_2^2}\right) \frac{\partial^2 \Psi}{\partial X^2} + \frac{\partial^2 \Psi}{\partial y^2} &= o(r^{-1/2}) \end{aligned}$$



Фиг. 1

Пренебрегая членами низшего порядка, отсюда приходим к системе, в точности совпадающей с той, которая получается в задаче о стационарном распределении разреза с постоянной скоростью  $V = l'$  (Крэггс [3])

$$\left(1 - \frac{V^2}{c_1^2}\right) \frac{\partial^2 \Phi}{\partial X^2} + \frac{\partial^2 \Phi}{\partial y^2} = 0, \quad \left(1 - \frac{V^2}{c_2^2}\right) \frac{\partial^2 \Psi}{\partial X^2} + \frac{\partial^2 \Psi}{\partial y^2} = 0 \quad (1.4)$$

Следуя Крэггсу, введем

$$z_1 = X + i(1 - V^2/c_1^2)^{1/2}y, \quad z_2 = X + i(1 - V^2/c_2^2)^{1/2}y \quad (1.5)$$

Решение системы (1.4), удовлетворяющее условиям (1.2), имеет вид

$$\begin{aligned} \Phi &= \operatorname{Re} [a_1 z_1^{3/2} + i a_2 z_1^{1/2}] \\ \Psi &= \operatorname{Re} [b_1 z_2^{1/2} + i b_2 z_2^{3/2}] \end{aligned} \quad (1.6)$$

Здесь  $a_1, a_2, b_1, b_2$  — константы. Две из них определяются из граничных условий на берегах разреза. Ограничиваюсь случаем конечных внешних сил в области носика разреза, потребуем

$$\tau_{yy} = \sigma_{xy} = 0 \text{ при } \vartheta = \pi \quad (1.7)$$

В качестве двух оставшихся параметров выберем коэффициенты интенсивности для  $\sigma_{yy}$  и  $\sigma_{xy}$  на оси разреза при подходе извне

$$\sigma_{yy} = N / \pi V \bar{X}, \quad \sigma_{xy} = P / \pi V \bar{X} \quad \text{при } \vartheta = 0 \quad (1.8)$$

Чтобы выписать соотношение (1.7), (1.8) через потенциалы (1.6), воспользуемся выражениями для компонент тензора напряжений, приведенными в работе Крэгга

$$\begin{aligned} \mu^{-1}\sigma_{xx} &= \left(2 + \frac{V^2}{c_2^2} - 2\frac{V^2}{c_1^2}\right) \frac{\partial^2 \Phi}{\partial X^2} - 2\left(1 - \frac{V^2}{c_2^2}\right)^{1/2} \frac{\partial^2 K}{\partial X^2} \\ \mu^{-1}\sigma_{xy} &= -2\left(1 - \frac{V^2}{c_1^2}\right)^{1/2} \frac{\partial^2 \chi}{\partial X^2} - \left(2 - \frac{V^2}{c_2^2}\right) \frac{\partial^2 \Psi}{\partial X^2} \\ \mu^{-1}\sigma_{yy} &= -\left(2 - \frac{V^2}{c_2^2}\right) \frac{\partial^2 \Phi}{\partial X^2} + 2\left(1 - \frac{V^2}{c_2^2}\right)^{1/2} \frac{\partial^2 K}{\partial X^2} \end{aligned} \quad (1.9)$$

Здесь

$$\begin{aligned} \frac{\partial^2 \Phi}{\partial X^2} + i \frac{\partial^2 \chi}{\partial X^2} &= \frac{3}{4} (a_1 z_1^{-1/2} + i a_2 z_1^{-1/2}) \\ \frac{\partial^2 \Psi}{\partial X^2} + i \frac{\partial^2 K}{\partial X^2} &= \frac{3}{4} (b_1 z_2^{-1/2} + i b_2 z_2^{-1/2}) \end{aligned} \quad (1.10)$$

Здесь  $\mu$  — второй коэффициент Ляме.

Эти формулы получаются подстановкой в закон Гука перемещений, выраженных через потенциалы (1.6), используя уравнения (1.4).

Подставив (1.9), (1.10) в (1.7), (1.8) и решив получившуюся линейную относительно  $a_1, a_2, b_1, b_2$  систему, получим

$$\begin{aligned} a_1 &= \frac{4}{3} \frac{N(2 - V^2/c_2^2)}{\pi \mu D(V)}, \quad b_1 = \frac{4}{3} \frac{P(2 - V^2/c_2^2)}{\pi \mu D(V)} \\ a_2 &= -\frac{8}{3} \frac{P(1 - V^2/c_2^2)^{1/2}}{\pi \mu D(V)}, \quad b_2 = \frac{8}{3} \frac{N(1 - V^2/c_1^2)^{1/2}}{\pi \mu D(V)} \end{aligned} \quad (1.11)$$

Здесь

$$D(V) = 4(1 - V^2/c_1^2)^{1/2}(1 - V^2/c_2^2)^{1/2} - (2 - V^2/c_2^2)^2$$

Объединяя (1.9), (1.10), (1.11), получаем для компонент тензора напряжений следующие выражения:

$$\begin{aligned} \pi \mu D(V) \sigma_{xx} &= r^{-1/2} \left\{ \left(2 + \frac{V^2}{c_2^2} - 2\frac{V^2}{c_1^2}\right) \left(1 - \frac{V^2}{c_1^2} \sin^2 \vartheta\right)^{-1/4} \left[ N \left(2 - \frac{V^2}{c_2^2}\right) \cos \frac{\lambda_1}{2} - \right. \right. \\ &\quad \left. \left. - 2P \left(1 - \frac{V^2}{c_2^2}\right)^{1/2} \sin \frac{\lambda_1}{2} \right] - 2 \left(1 - \frac{V^2}{c_2^2}\right)^{1/2} \left(1 - \frac{V^2}{c_2^2} \sin^2 \vartheta\right)^{-1/4} \left[ 2N \left(1 - \frac{V^2}{c_1^2}\right)^{1/2} \cos \frac{\lambda_2}{2} - \right. \right. \\ &\quad \left. \left. - P \left(2 - \frac{V^2}{c_2^2}\right) \sin \frac{\lambda_2}{2} \right] \right\} \\ \pi \mu D(V) \sigma_{xy} &= r^{-1/2} \left\{ -2 \left(1 - \frac{V^2}{c_1^2}\right)^{1/2} \left(1 - \frac{V^2}{c_1^2} \sin^2 \vartheta\right)^{-1/4} \left[ -N \left(2 - \frac{V^2}{c_2^2}\right) \sin \frac{\lambda_1}{2} - \right. \right. \\ &\quad \left. \left. - 2P \left(1 - \frac{V^2}{c_2^2}\right)^{1/2} \cos \frac{\lambda_1}{2} \right] - \left(2 - \frac{V^2}{c_2^2}\right) \left(1 - \frac{V^2}{c_2^2} \sin^2 \vartheta\right)^{-1/4} \left[ 2N \left(1 - \frac{V^2}{c_1^2}\right)^{1/2} \sin \frac{\lambda_2}{2} + \right. \right. \\ &\quad \left. \left. + P \left(2 - \frac{V^2}{c_2^2}\right) \cos \frac{\lambda_2}{2} \right] \right\} \\ \pi \mu D(V) \sigma_{yy} &= r^{-1/2} \left\{ - \left(2 - \frac{V^2}{c_2^2}\right) \left(1 - \frac{V^2}{c_1^2} \sin^2 \vartheta\right)^{-1/4} \left[ N \left(2 - \frac{V^2}{c_2^2}\right) \cos \frac{\lambda_1}{2} - \right. \right. \\ &\quad \left. \left. - 2P \left(1 - \frac{V^2}{c_2^2}\right)^{1/2} \sin \frac{\lambda_1}{2} \right] + 2 \left(1 - \frac{V^2}{c_2^2}\right)^{1/2} \left(1 - \frac{V^2}{c_2^2} \sin^2 \vartheta\right)^{-1/4} \left[ 2N \left(1 - \frac{V^2}{c_1^2}\right)^{1/2} \cos \frac{\lambda_2}{2} - \right. \right. \\ &\quad \left. \left. - P \left(2 - \frac{V^2}{c_2^2}\right) \sin \frac{\lambda_2}{2} \right] \right\} \\ \lambda_n &= \arctg (1 - V^2/c_n^2)^{1/2} \operatorname{tg} v \quad (n = 1, 2) \end{aligned}$$

Следует отметить, что в случае симметричных относительно линии разреза напряжений ( $P = 0$ ) величина  $N$  входит в формулы (1.12) в качестве множителя. Угловое распределение напряжений, таким образом, не зависит от коэффициента интенсивности и имеет один и тот же вид для всех движений разреза.

Естественно, что оно совпадает с результатами, полученными в работах [3–6]. Найденное свойство позволяет перенести результаты исследований особенности, проведенных различными авторами в случае частных задач, на произвольно движущийся разрез с  $P = 0$ . Сюда относится обнаруженная Иоффе [6] возможность ветвления разреза при некоторой критической скорости. Отсюда следует, что вид изохром, рассчитанный Бэккером [5] в его задаче, является общим для всех задач с симметричным распределением напряжений.

**2. Энергетическое условие в носике трещины.** Аналогично тому, как это сделано в работе Черепанова [2], выпишем уравнение сохранения энергии для процесса деформирования идеального упругого тела с развивающейся трещиной. Относительно трещины предположим, что на образование единицы длины трещины требуется энергия  $T$ . Величина  $T$  определяется физическими свойствами тела и, вообще говоря, может быть функцией параметров движения трещины. Выделим вокруг носика в момент  $t_0$  круговую область  $G$  радиуса  $\epsilon$  с границей  $\gamma$ . Для области тела, внешней к  $\gamma$ , сохранение энергии гарантируется уравнениями движения идеально упругого тела. Для области  $G$  имеем

$$\begin{aligned} & 2 \int_0^\epsilon \left( P_x \frac{\partial u_x}{\partial t} + P_y \frac{\partial u_y}{\partial t} \right) dx + \int_\gamma \left( X_n \frac{\partial u_x}{\partial t} + Y_n \frac{\partial u_y}{\partial t} \right) d\gamma = \\ & = \frac{d}{dt} \int_G \left\{ W + \frac{\rho}{2} \left[ \left( \frac{\partial u_x}{\partial t} \right)^2 + \left( \frac{\partial u_y}{\partial t} \right)^2 \right] \right\} dG + 2lT \end{aligned} \quad (2.1)$$

Здесь  $P_x, P_y$  — вектор внешних сил, приложенных к берегам разреза изнутри трещины;  $u_x, u_y$  — вектор смещения;  $X_n, Y_n$  — вектор упругих сил на границе;  $W$  — упругий потенциал;  $\rho$  — плотность.

В этом уравнении первый член есть мощность внешних сил, приложенных в самой трещине; второй член — мощность упругих сил на границе области  $\gamma$ ; третий — скорость изменения упругой и кинетической энергии в области  $G$ ; четвертый — энергия, идущая на образование трещины в единицу времени.

Для достаточно малой области  $G$  можно воспользоваться найденным в предыдущем пункте видом особенности в носике произвольно движущегося разреза; при этом первым членом в (2.1) можно пренебречь (при бесконечном уменьшении области  $G$  он стремится к нулю).

Проделав все вычисления, получаем

$$N^2 \left( 1 - \frac{V^2}{c_1^2} \right)^{1/2} + P^2 \left( 1 - \frac{V^2}{c_2^2} \right)^{1/2} = 2\pi\mu D(V) \frac{c_2^2}{V^2} \quad (2.2)$$

Это выражение является аналогом энергетического условия Гриффитса [7] для нестационарно движущейся трещины. Такое же выражение получено в частной задаче Крэггсом [8]. Вместо  $T$  введем параметр  $K$ , часто используемый в теории хрупкого разрушения

$$K = \sqrt{2\pi\mu T / (1 - v)} \quad (v — \text{коэффициент Пуассона})$$

График  $N^2(V) / K^2$  при  $P = 0$  и  $v = 0.25$  приведен на фиг. 1, где  $c_R$  — скорость волн Рэллея. Из графика видно, что при  $V \rightarrow 0$  условие (2.2) переходит в статическое условие для предельно равновесной трещины [8]  $N = K$ .

Уравнение (2.2) может быть использовано для решения следующей задачи.

В начальный момент времени к телу с покоящейся трещиной прикладываются внешние силы: требуется найти движение трещины.

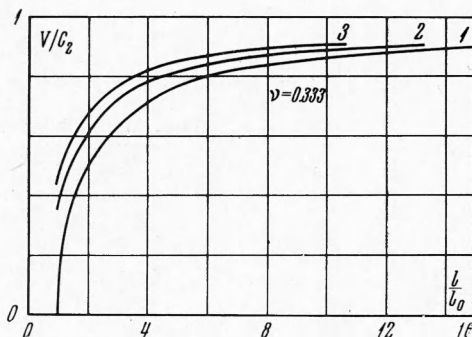
Задачу следует решать в два этапа:

1) Определяем параметры  $N$  и  $P$  для заданных внешних сил и произвольного закона движения разреза, положение которого совпадает в начальный момент времени с покоящейся трещиной;

2) Отбираем с помощью уравнения (2.2) из всей совокупности траекторий разрезов такую, которая соответствует движению трещины.

К сожалению, решение первой задачи даже простейших областей и типов нагрузок встречает значительные трудности. В литературе по нестационарному движению разреза имеются лишь работы Броберга [4] об автомодельном расширении трещины из нуля с постоянной скоростью и Беккера [5] о движении с постоянной скоростью полу-бесконечного разреза, покоящегося в начальный момент времени. Результат Броберга можно использовать для приближенного решения поставленной выше задачи в случае

прямолинейной изолированной трещины в бесконечном пространстве. Пусть в начальный момент в трещине возникает давление  $p \geq p_0$ , где  $p_0$  — критическое давление, соответствующее равновесному состоянию трещины. Параметр  $N$  при  $t > 0$  увеличивается и тогда, когда он становится равным  $K$ ; трещина сдвигается с места. Пусть в момент  $t$  она имеет размер  $l$  и скорость  $V$ . Предположим, что  $N$  в этот момент будет такой же,



Фиг. 2

как и для трещины Броберга, развившейся из нуля со скоростью  $V$  до размера  $l$ , под действием той же на грузки  $p$

$$\begin{aligned} N &= \frac{Q\pi}{V^4 c_2^2} \left( \frac{l}{2c_1} \right)^{1/2} \frac{D(V)}{(1 - V^2/c_1^2)^{1/2}} \\ Q &= p \frac{\beta^2(1-\beta^2)}{J(\beta)}, \quad \beta = \frac{V}{c_1}, \quad k = \frac{c_2}{c_1} \end{aligned} \quad (2.3)$$

$$J(\beta) = [(1 - 4k^2)\beta^2 + 4k^4] K(\sqrt{1-\beta^2}) - \beta^{-2} [3^4 - 4k^2(1+k^2)\beta^2 + 8k^4] E(\sqrt{1-\beta^2}) - 4k^2(1-\beta^2) K(\sqrt{1-(\beta/k)^2} + 8k^2\beta^{-2}(1-\beta^2) E(\sqrt{1-(\beta/k)^2})$$

где  $K(x), E(x)$  — полные эллиптические интегралы первого и второго рода.

Параметр  $P$  в этой задаче равен нулю.

Подставляя (2.3) в (2.2), получаем зависимость  $V(l)$ , график которой приведен на фиг. 2 для различных значений  $p$ . Кривые 1, 2, 3 соответствуют  $p = p_0$ ,  $p = 2p_0$ ,  $p = 3p_0$ . Энергия трещинообразования  $T$  принимается постоянной. Относительно кривой  $V(l)$  априори известно, что она начинается в точке  $(l_0, 0)$ , соответствующей начальному положению трещины, и выходит на ту же асимптоту  $V = c_R$ . Наибольшее отклонение от точного решения будет, по-видимому, в начальной стадии движения, поскольку здесь сильнее оказывается расхождение в начальных данных поставленной задачи и задачи Броберга и, кроме того, здесь же находится максимум ускорения  $dV/dt$ , влияние которого в данной модели не учитывается.

Поступила 23 XII 1968

#### ЛИТЕРАТУРА

1. Irwin G. R. Analysis of stresses and strains near the end of a crack traversing a plate. J. Appl. Mech., 1957, vol. 24, No. 3.
2. Ч е р е п а н о в Г. П. О распространении трещин в сплошной среде. ПММ, 1967, т. 31, вып. 3.
3. Craggs J. W. On the propagation of a crack in an elastic brittle material. J. Mech. Phys. Solids, 1960, vol. 8, No. 1.
4. Broberg K. B. The propagation of a brittle crack. Arkiv fys., 1960, vol. 18, No. 2.
5. Baker B. R. Dynamic stresses created by a moving crack. Trans. ASME, Ser. E, J. Appl. Mech., 1962, vol. 29, No. 3. (Рус. перев.: Прикл. механ., Сер. Е, 1962, т. 28, № 3).
6. Yoffe F. H. The moving Griffith crack. Philos. Mag., 1951, vol. 42, No. 330.
7. Griffith A. A. The theory of rupture. Proc. 1-st Intern. Congr. Appl. Mech. Delft., 1924, pp. 55—63.
8. Б а р е н б л а т Г. И. Математическая теория равновесных трещин, образующихся при хрупком разрушении. ПМТФ, 1961, № 4.